

РАСПРОСТРАНЕНИЕ СИЛЬНОЙ ЦИЛИНДРИЧЕСКОЙ ВОЛНЫ В НЕОДНОРОДНОЙ АТМОСФЕРЕ

В. А. БРОНШТЕН

(Москва)

Дано приближенное решение задачи о распространении сильной цилиндрической волны в неоднородной экспоненциальной атмосфере, пригодное при любом угле наклона оси волны к вертикали. Для решения использован метод, изложенный в [4]. Результаты сравниваются с аналогичным решением для сферической волны, полученным авторами работы [4]. Метод пригоден при отношении давлений в ударной волне $p_2 / p_1 > 40$ или при отношении скорости ударной волны к звуковой $D/a > 6$. Решение может быть использовано при расчете воздушных волн, возникающих при влете в атмосферу крупных метеоритов.

Задача о распространении сильной цилиндрической волны в неоднородной атмосфере может возникнуть, например, при изучении системы воздушных волн, возникающих при вторжении в земную атмосферу крупных метеоритов. Такая задача, но без учета неоднородности атмосферы по высоте, была рассмотрена в 1956 г. К. П. Станюковичем [1]. Распространение сильных сферических волн в неоднородной экспоненциальной атмосфере рассматривалось А. С. Компанийцем [2], Э. И. Андрианкиным и др. [3], Д. Лаумбахом и Р. Пробстейном [4]. Развитый в работе [4] приближенный метод дает хорошее согласие с точными решениями для однородной атмосферы и с экспериментальными данными. Поэтому было решено применить его для случая распространения сильной цилиндрической волны в неоднородной экспоненциальной атмосфере.

В данном анализе в соответствии с [4] делаются следующие предположения:

- 1) волна считается сильной, т. е. противодавлением можно пренебречь; как ясно из [5], это соответствует условию $p_2 / p_1 > 40$;
- 2) газ считается совершенным с показателем адиабаты γ ;
- 3) гравитационными, магнитными эффектами, действием ветра, излучением и теплопереносом в ударной волне пренебрегаем;
- 4) атмосфера считается холодной с $p_1 = 0$ и распределением плотности по барометрической формуле

$$\rho = \rho_0 e^{-H/H^*} \quad (1)$$

где H^* — шкала высот для данного уровня H , ρ_0 — плотность на уровне $H = 0$.

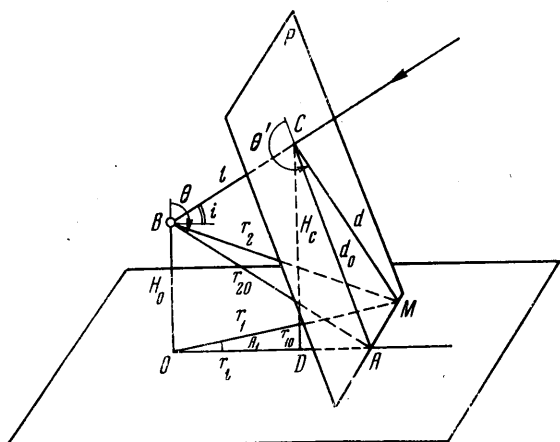
Пусть в атмосферу влетает космическое тело по прямолинейной траектории под углом i к горизонту и заканчивает свое движение на высоте H_0 над поверхностью Земли. В большинстве случаев $H_0 = 0$ (удар метеорита о Землю, сопровождаемый точечным взрывом [1]), но в случае, например, Тунгусского метеорита $H_0 = 5 \div 10$ км. Будем считать для общности, что $H_0 > 0$.

Величины H_0 , i полностью задают положение траектории метеорита относительно земной поверхности (азимут проекции траектории для данной задачи роли не играет). Высота произвольной точки C траектории (фиг. 1) равна

$$H_C = H_0 + l \sin i = H_0 + r_l \operatorname{tg} i \quad (2)$$

где l — расстояние BC от конечной точки траектории¹, r_l — расстояние OD на земной поверхности от проекции точки B (эпицентра точечного взрыва) до проекции точки C .

¹ Здесь не рассматривается концевой эффект, который в изучаемом случае вторжения метеорита пренебрежимо мал по сравнению с действием взрыва в атмосфере или при ударе о Землю.



Фиг. 1

родной атмосферы и с экспериментальными данными. Поэтому было решено применить его для случая распространения сильной цилиндрической волны в неоднородной экспоненциальной атмосфере.

В данном анализе в соответствии с [4] делаются следующие предположения:

- 1) волна считается сильной, т. е. противодавлением можно пренебречь; как ясно из [5], это соответствует условию $p_2 / p_1 > 40$;
- 2) газ считается совершенным с показателем адиабаты γ ;
- 3) гравитационными, магнитными эффектами, действием ветра, излучением и теплопереносом в ударной волне пренебрегаем;
- 4) атмосфера считается холодной с $p_1 = 0$ и распределением плотности по барометрической формуле

$$\rho = \rho_0 e^{-H/H^*} \quad (1)$$

где H^* — шкала высот для данного уровня H , ρ_0 — плотность на уровне $H = 0$.

Пусть в атмосферу влетает космическое тело по прямолинейной траектории под углом i к горизонту и заканчивает свое движение на высоте H_0 над поверхностью Земли. В большинстве случаев $H_0 = 0$ (удар метеорита о Землю, сопровождаемый точечным взрывом [1]), но в случае, например, Тунгусского метеорита $H_0 = 5 \div 10$ км. Будем считать для общности, что $H_0 > 0$.

Величины H_0 , i полностью задают положение траектории метеорита относительно земной поверхности (азимут проекции траектории для данной задачи роли не играет). Высота произвольной точки C траектории (фиг. 1) равна

$$H_C = H_0 + l \sin i = H_0 + r_l \operatorname{tg} i \quad (2)$$

где l — расстояние BC от конечной точки траектории¹, r_l — расстояние OD на земной поверхности от проекции точки B (эпицентра точечного взрыва) до проекции точки C .

¹ Здесь не рассматривается концевой эффект, который в изучаемом случае вторжения метеорита пренебрежимо мал по сравнению с действием взрыва в атмосфере или при ударе о Землю.

Проведем через точку C плоскость P , перпендикулярную траектории (оси взрыва) BC и отметим точку A ее пересечения с проекцией траектории, а также произвольную точку M на линии пересечения плоскости P с земной поверхностью. Тогда, обозначая $CM = d$, $CA = d_0$, $OM = r_1$, $OA = r_{10}$, $BM = r_{20}$, $\angle AOM = A_1$ и вводя угол θ направления CM с CA , получаем следующие очевидные геометрические соотношения:

$$\begin{aligned} r_{10} &= H_0 \operatorname{tg} i + l \sec i, & r_1 &= r_{10} \sec A_1 = (r_{10}^2 + d^2 \operatorname{cosec}^2 \theta)^{1/2}, \\ l &= r_{10} \cos i - H_0 \sin i, & d_0 &= r_{10} \sin i + H_0 \cos i, & d &= d_0 \sec \theta, \\ \operatorname{tg} A_1 &= \frac{d_0}{r_{10}} \operatorname{cosec} \theta \end{aligned} \quad (3)$$

Используя закон плоских сечений, будем рассматривать распространение цилиндрической волны от элементарного отрезка траектории около точки C в плоскости P . Введем энергию цилиндрического взрыва на единицу длины E_l (которая может быть, вообще говоря, функцией l) и эффективную шкалу высот Δ

$$\Delta = H^* \sec i \quad (4)$$

Обозначим расстояние от оси точки фронта ударной волны в позиционном угле θ через R , расстояние произвольной точки за фронтом — через r и введем лагранжеву координату этой точки r_0 , определяющую положение некоторой частицы в момент взрыва ($t = 0$). Тогда аналогично соотношениям для сферического взрыва, приводимым в [4], будем иметь

уравнение неразрывности

$$\rho \frac{\partial r}{\partial r_0} = \rho_0 \frac{r_0}{r} \quad (5)$$

уравнение движения

$$\frac{\partial^2 r}{\partial t^2} + \frac{r}{\rho_0 r_0} \frac{\partial p}{\partial r_0} = 0 \quad (6)$$

уравнение энергии [6]

$$\frac{E_l}{2\pi} = \int_0^R \frac{p}{\gamma - 1} r dr + \int_0^R \frac{1}{2} \left(\frac{\partial r}{\partial t} \right)^2 \rho_0 r_0 dr_0 \quad (7)$$

Первый интеграл в правой части (7) выражает внутреннюю энергию, а второй — кинетическую энергию. При оценке этих интегралов полагаем, что на фронте волны $r_0 = R$, а за фронтом $r_0 = 0$, т. е. что вся масса воздуха движется вперед непосредственно за фронтом волны. Введем безразмерный параметр длины

$$\eta = R \frac{\cos \theta}{\Delta} \quad (8)$$

Очевидно, что при $0 \leq \theta < 1/2\pi$ (движение вверх) $\eta > 0$, а при $1/2\pi < \theta \leq \pi$ (движение вниз) $\eta < 0$. При $\theta = 1/2\pi$ $\eta = 0$ и имеем частный случай однородной атмосферы.

Разлагая $r(r_0, t)$ в ряд Тейлора по степеням $(r_0 - R)$ и учитывая приведенные выше предположения, а также то, что

$$\left. \frac{\partial r}{\partial r_0} \right|_R = \left. \frac{\rho_0 r_0}{\rho r} \right|_R = \frac{\gamma - 1}{\gamma + 1} \quad (9)$$

методом, подробно изложенным в [4], получаем следующее уравнение энергии:

$$\frac{E_l}{2\pi\rho_c} \left(\frac{\cos \theta}{\Delta} \right)^4 = \varphi(\eta)\ddot{\eta} + \psi(\dot{\eta})\eta^2 \quad (10)$$

Здесь $\dot{\eta}$, $\ddot{\eta}$ — производные η по времени и введены вспомогательные функции

$$\varphi(\eta) = \frac{2(2\gamma - 1)}{(\gamma - 1)(\gamma + 1)^2} \eta [1 - e^{-\eta}(\eta + 1)] \quad (11)$$

$$\psi(\eta) = \frac{\eta^2 e^{-\eta}}{(\gamma - 1)(\gamma + 1)} + \left[\frac{2\gamma}{\gamma + 1} + 2 - \eta \right] \frac{\gamma - 1}{2(2\gamma - 1)} \frac{\varphi(\eta)}{\eta} \quad (12)$$

Введем безразмерное время

$$t^* = t \left[\frac{E_l |\cos^4 \theta|}{2\pi \rho_0 \Delta^4} \right]^{1/2} \quad (13)$$

и обозначим производные η по t^* через η' и η'' . Тогда вместо (10) получим

$$\varphi(\eta)\eta'' + \psi(\eta)\eta'^2 = \pm 1 \quad (14)$$

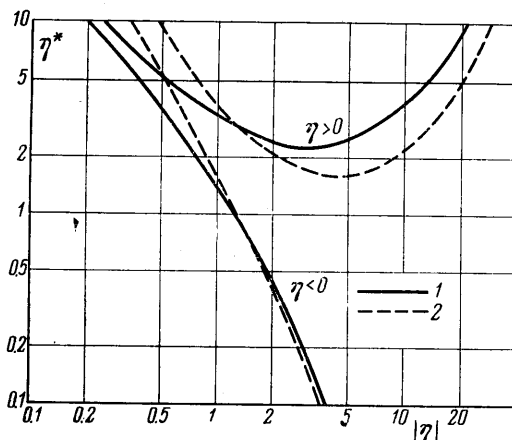
Это уравнение разрешается относительно квадрата производной η' , т. е. квадрата безразмерной скорости ударной волны

$$\eta'^2 = \pm 2e^{-2\Psi(\eta)} \int_0^\eta e^{2\Psi(y)} \frac{dy}{\varphi(y)} \quad (15)$$

где верхний знак соответствует движению волны вверх ($\theta < \pi/2$), а нижний — движению вниз ($\theta > \pi/2$), и введено обозначение

$$\Psi(\eta) = \int_a^\eta \frac{\psi(y)}{\varphi(y)} dy \quad (16)$$

причем a — условный нуль, выбираемый с таким расчетом, чтобы при $\eta \rightarrow 0$ решение стремилось к решению для однородной атмосферы, т. е. $\Psi(a) = 0$. Тогда будем иметь



Фиг. 2

$$\begin{aligned} \Psi(\eta) = & \frac{\gamma+1}{2(2\gamma-1)} \ln [1 - e^{-\eta} (\eta+1)] + \\ & + \frac{(2\gamma+1)(\gamma-1)}{(2\gamma-1)(\gamma+1)} \ln \eta - \frac{\gamma-1}{2(2\gamma-1)} \eta \end{aligned} \quad (17)$$

Найдем также подынтегральную функцию

$$\begin{aligned} F(y) = & e^{2\Psi(y)} \frac{dy}{\varphi(y)} = \\ & = k_1 [1 - e^{-y} (y+1)]^{2k_2-1} y^{2k_3-1} e^{-2k_4 y} \quad (18) \\ \text{где обозначено} \\ k_1 = & \frac{(\gamma-1)(\gamma+1)^2}{2(2\gamma-1)}, \quad k_2 = \frac{\gamma+1}{2(2\gamma-1)} \\ k_3 = & \frac{(2\gamma+1)(\gamma-1)}{(2\gamma-1)(\gamma+1)}, \quad k_4 = \frac{\gamma-1}{2(2\gamma-1)} \end{aligned} \quad (19)$$

В случае $\gamma = 1.4$ коэффициенты k_n примут значения

$$\begin{aligned} k_1 = & 16/25, \quad k_2 = 2/3, \quad k_3 = 19/54, \quad k_4 = 1/9, \quad 2k_2 - 1 = 1/3, \quad 2k_3 - 1 = -8/27 \\ & 2k_4 = 2/9 \end{aligned}$$

При малых y ($y \leq 0.05$) в этом случае $F(y)$ хорошо представляется функцией

$$F(y) = 0.51y^{0.37} \quad (20)$$

а сомножители в формуле (15) представляются так:

$$\begin{aligned} F_1(\eta) = & e^{-2\Psi(\eta)} \approx 2.52\eta^{-3.37} \\ F_2(\eta) = & \int_0^\eta F(y) dy \approx 0.374\eta^{1.37} \end{aligned} \quad (21)$$

Отсюда для малых η ($\eta \leq 0.05$)

$$\eta' = 1.37\eta^{-1} \quad (22)$$

Расчет значений безразмерной скорости η' показал (фиг. 2, кривые 1) такой же качественный ход ее в функции безразмерного расстояния η , что и в случае сферической волны (кривые 2). Скорость волны, уходящей вверх ($\eta > 0$), достигает минимума примерно на $\eta = 3$, после чего начинает возрастать из-за уменьшения плотности атмосферы с высотой. Скорость волны, идущей вниз, прогрессивно убывает. Однако неучет противодавления позволяет применять данное решение лишь к сильным волнам.

Переход от безразмерной скорости ударной волны η' к размерной скорости D производится по формуле

$$D = \eta' \left[\frac{E_l}{2\pi\rho_c} \right]^{1/2} \frac{|\cos \theta|}{\Delta} \quad (23)$$

Безразмерное время t^* прохождения волной расстояния η определяется интегралом

$$t^* = \int_0^\eta \frac{dy}{\eta'} \quad (24)$$

где y — переменная интегрирования. Переход к размерному времени производится по формуле (13).

Рассмотрим теперь частный случай $\theta = \pi/2$, соответствующий решению для однородной атмосферы. При этом $\cos \theta = 0$, $\Delta = \infty$, $\eta = 0$ и решение удобнее представить в размерных координатах. Вместо уравнения энергии (10) будем иметь

$$R'' + \frac{\gamma(3\gamma+1)}{(2\gamma-1)(\gamma+1)} \frac{R''^2}{R} = \frac{(\gamma-1)(\gamma+1)^2}{2(2\gamma-1)} \frac{E_l}{\pi\rho_c} \frac{1}{R^3} \quad (25)$$

Интегрирование (25) дает

$$D \equiv R^* = \left[\frac{(\gamma-1)(\gamma+1)}{2} \frac{E_l}{\pi\rho_c} \right]^{1/2} \frac{1}{R} \quad (26)$$

а интегрируя (26), получаем

$$R = \left[2(\gamma-1)(\gamma+1) \frac{E_l}{\pi\rho_c} \right]^{1/4} t^{1/2} \quad (27)$$

Как уже было сказано, данное решение применимо при $p_2/p_1 > 40$, чему приближенно соответствует $D/a > b$ (a — скорость звука). Соответствующее условие для η' вытекает из формулы (23).

Всесоюзное астрономо-геодезическое общество

Поступило 20 I 1970

ЛИТЕРАТУРА

- Станюкович К. П. Система воздушных ударных волн при полете и взрыве метеоритов. Метеоритика, 1956, вып. 14, стр. 62—69.
- Компаниец А. С. Точечный взрыв в неоднородной атмосфере. Докл. АН СССР, 1960, т. 130, № 5, стр. 1001—1004.
- Андраникин Э. И., Коган А. М., Компаниец А. С., Крайнов В. П. Распространение сильного взрыва в неоднородной атмосфере. ПМТФ, 1962, № 6, стр. 3—7.
- Lambach D. D., Probstein R. F. A point explosion in a cold exponential atmosphere. J. Fluid Mech., 1969, vol. 35, pt 1, pp. 53—75.
- Коробейников В. П., Мельникова Н. С., Рязанов Е. В. Теория точечного взрыва. М., Физматгиз, 1961.
- Седов Л. И. Методы подобия и размерности в механике, Изд. 5. М., «Наука», 1965.